

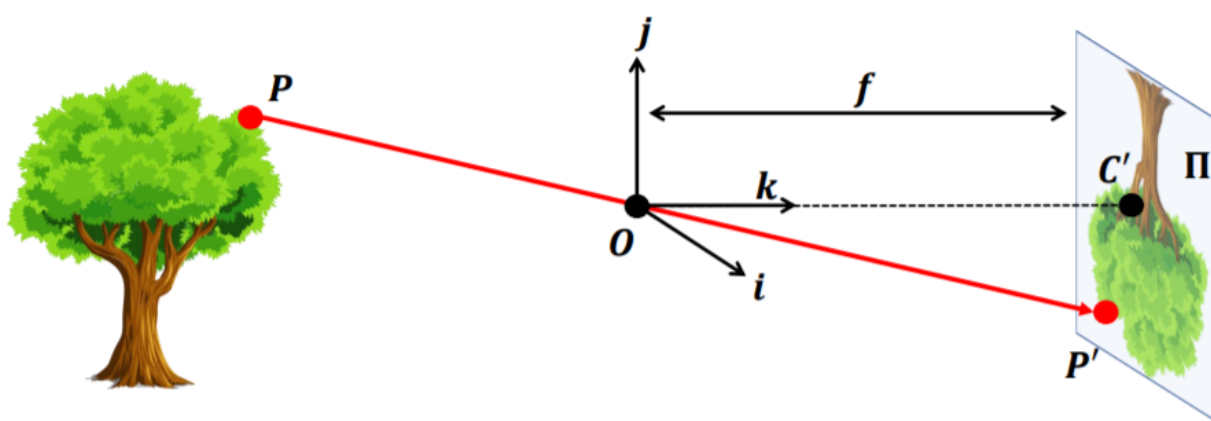
一、相机模型与单目视觉

1.1 针孔相机模型推导

参考资料：

1. [Stanford CS231a](#)
2. [CSDN](#)
3. [OpenCV Documentation](#)

相机模型的坐标系



- 相机模型的坐标系采用齐次坐标描述
 - 以Z轴为分母的相似变换（即投影变换）不是线性变换，引入齐次坐标可以转换为线性变换
- World坐标系是任意指定的环境坐标系
- Camera坐标系代表相机（小孔）在World坐标系下的位置和朝向，World和Camera坐标系间用旋转矩阵 R 和平移矩阵 T 变换
- Image坐标系代表成像坐标系。成像过程是一个投影变换，将3D坐标压缩成2D，并进行 f/Z 比例的相似变换
- Pixel坐标系是最终生成图像的坐标系。该坐标系的原点不在光轴上，而在图像左上角

坐标系变换过程

- 坐标用齐次坐标描述，三维的齐次坐标把每个分量除以最后一个分量就可得到二维坐标

- Camera到Image：投影变换，以Z坐标为缩放参数 $z_C P_I = z_C$
$$\begin{bmatrix} x_I \\ y_I \\ 1 \end{bmatrix} = \begin{bmatrix} f & 0 & 0 & 0 \\ 0 & f & 0 & 0 \\ 0 & 0 & 1 & 0 \end{bmatrix} \begin{bmatrix} x_C \\ y_C \\ z_C \\ 1 \end{bmatrix}$$

- Image到Pixel：从自然单位变换到像素单位（缩放），并变换坐标原点（平移）

- 其中 $\alpha = fs_x$ 是焦距与相机X轴分辨率的乘积， $\beta = fs_y$ 是焦距与相机Y轴分辨率的乘积

- (x_0, y_0) 是Pixel坐标系的原点在Image坐标系下的坐标 $P_P = \begin{bmatrix} x_P \\ y_P \\ 1 \end{bmatrix} = \begin{bmatrix} \alpha & 0 & x_0 \\ 0 & \beta & y_0 \\ 0 & 0 & 1 \end{bmatrix} \begin{bmatrix} x_I \\ y_I \\ 1 \end{bmatrix}$

- World到Camera: 从World坐标系经过平移旋转, 变换到Camera坐标系 $P_C = \begin{bmatrix} R & T \\ 0 & 1 \end{bmatrix} P_W$
- 将以上过程全部合并, 就得到:
$$z_C P_P = z_C \begin{bmatrix} x_P \\ y_P \\ 1 \end{bmatrix} = \begin{bmatrix} \alpha & 0 & x_0 \\ 0 & \beta & y_0 \\ 0 & 0 & 1 \end{bmatrix} [R \quad T] \begin{bmatrix} x_W \\ y_W \\ z_W \\ 1 \end{bmatrix} = K [R \quad T] P_W$$
- 矩阵 K 包括相机分辨率、图像大小(即Pixel坐标原点)、焦距等信息, 所以是相机的内部参数 (Intrinsic Parameters)
- 矩阵 $[R \quad T]$ 包含了相机的坐标信息, 是外部参数 (Extrinsic Parameters)

1.2 OpenCV中的相机标定

参考资料:

1. [OpenCV Documentation](#)
2. [CSDN](#)
3. [OpenCV官方Examples](#)

相机标定和去畸变的OpenCV实现

1. (注意到所有给到的数据图像都有一个棋盘格。棋盘格通过规范四边形来检测仿射变换, 同时也能通过直线来判断相机畸变)
2. 根据图像中的标准棋盘格 (ChessBoard) 对图像进行相机标定和去畸变
3. 首先读入图像并用 `cvtColor` 函数转换为灰度。转换为灰度是为了之后调用 `cornerSubPix` 进行精确的坐标调整
4. 调用 `findChessboardCorners` 函数找到图片中的棋盘格, 返回 `corners` 信息。 `corners` 包含了所有检测到的黑白块之间的角点。
5. 调用 `cornerSubPix` 精调找到的角点坐标。这个函数利用图像的灰度梯度来找精细的角点, 所以需要图像是单通道灰度图。
6. 构造目标角点数组 `objectPoints`。实际上只需要大小为1、行列数符合 `findChessboardCorners` 的输入参数的网格即可。
7. 调用 `calibrateCamera` 来进行相机矫正, 获得 `cameraMatrix` 相机矩阵和 `distCoeffs` 畸变参数向量。
8. 对每一幅图片调用 `undistort` 进行去畸变。输入还包括相机矩阵和畸变向量。

二、双目视觉

主要参考文献:

1. 计算机视觉中的多视图几何. 中文第一版. Richard Hartley, Andrew Zisserman.
2. [Stanford CS231a](#)

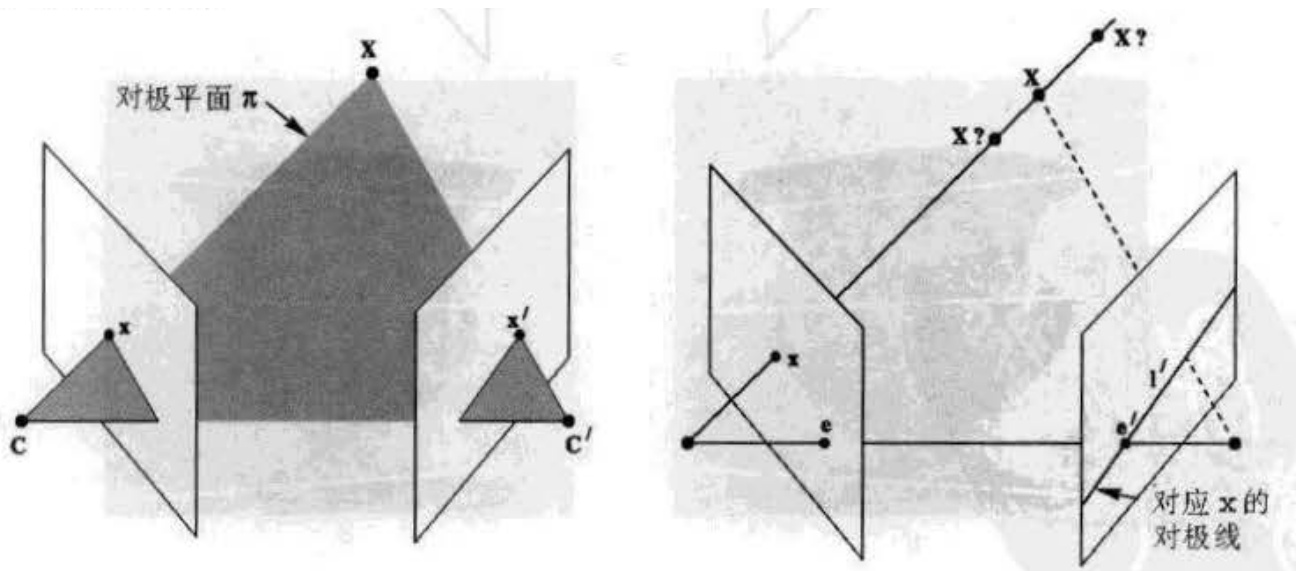
2.1 对极几何

基本假设

- 环境中有两个相机, 以位于左边的相机为坐标中心, 即左边相机的外部参数为 $[I \quad 0]$
- 右边的相机用相对左边相机的旋转和平移决定: 右边相机的外部参数为 $[R \quad T]$

- 相机的内部参数分别为: $M_l = \begin{bmatrix} f_x & 0 & c_x \\ 0 & f_y & c_y \\ 0 & 0 & 1 \end{bmatrix}$ 和 $M_r = \begin{bmatrix} f'_x & 0 & c'_x \\ 0 & f'_y & c'_y \\ 0 & 0 & 1 \end{bmatrix}$
- 设总的相机参数矩阵 $P_l = M_l [I \ 0]$, $P_r = M_r [R \ T]$

对极几何基本概念



对极几何主要是研究同一个三维空间的点, 在不同投影下形成的二维空间的对应关系。

- 基线 (Baseline) 是两个相机中心点的连线, 即 CC'
- 对极平面 (Epipolar Plane) 是基线与某个三维空间中的点 X 连成的一个平面
- 对极点 (Epipolar Point) 是基线与相平面的交点 e, e' 。这个点可以在无穷远处 (当两个相机平行)
- 对极线 (Epipolar Line) 是对极点和成像点 x, x' 之间的连线, 记为 l 和 l'

基本矩阵 (Fundamental Matrix) 的推导

为什么需要基本矩阵?

- 极线的本质是相机中心与 X 的连线在对面相机坐标系下的投影
- 三维空间中点 X 的像点 x, x' 必须要满足一定的约束: x' 一定在极线 l' 上
- 也就是说, 对于一个像点 x , 总有 (另一个相机的) 极线与之对应: $x \rightarrow l'$
- 基本矩阵就是用来描述这个映射的矩阵, 也就是说基本矩阵 F 满足: $l' = Fx$

记号: (来自《计算机视觉中的多视图几何》一书的附录)

1. 如果 $a = [a_1, a_2, a_3]$, 则 $[a]_{\times} = \begin{bmatrix} 0 & -a_3 & a_2 \\ a_3 & 0 & -a_1 \\ -a_2 & a_1 & 0 \end{bmatrix}$ 这样, 矩阵 $[a]_{\times}$ 满足反对称性并可以将叉积转化

为矩阵乘法: $a \times b = [a]_{\times} b$

2. 伪逆:

矩阵 P 的伪逆矩阵 P^+ 满足: $P^+ P = I$ 。当矩阵 P 满秩时,

极线方程推导:

从左边相机的视角, 像点生成的方程可以写为 $x = PX$ 。反解这个方程可以得到所有映射到 x 的原点方程:
 $X(\lambda) = \lambda C + P^+ x$

这条线一定经过两个点：相机原点 C 和原像点 $X = P^+ \mathbf{x}$ 。在右边相机的视角下，这两个点分别为 $P' C$ 和 $P' P^+ \mathbf{x}$ 。根据定义，对极线 l' 就是这两个点形成的直线： $l' = (P' C) \times P' P^+ \mathbf{x} = [e']_{\times} P' P^+ \mathbf{x}$

根据定义，基本矩阵 F 的计算式如下： $F = [e']_{\times} P' P^+$

在左边相机为坐标中心的条件（即 $P_l = M_l [I \ 0]$, $P_r = M_r [R \ T]$ ）的条件下，基本矩阵的公式可以进一步简化。此时，

$$P^+ = \begin{bmatrix} M_l^{-1} \\ \mathbf{0}^T \end{bmatrix}, \quad \mathbf{e} = \begin{bmatrix} -R^T T \\ 1 \end{bmatrix} = M_l R^T T$$

$$\text{则 } F = [e']_{\times} M_r R M_l^{-1} = M_r^{-T} R M_l^T [e]_{\times}。$$

以上定义的基本矩阵有一个重要的性质：对于两幅图像间对应的点 \mathbf{x}, \mathbf{x}' ，基本矩阵一定满足：

$$\mathbf{x}'^T F \mathbf{x} = 0$$

当可获得对应点数足够多的话，上式也可以用来计算基本矩阵 F 。

本质矩阵 (Essential Matrix)

归一化相机是内部参数即标定矩阵 $M = I$ 是单位矩阵相机，而对应归一化相机对的基本矩阵被称为**本质矩阵**。设 $P_l = [I \ 0]$, $P_r = [R \ T]$ ，根据基本矩阵的计算公式，本质矩阵可以表示为：

$$E = R[R^T T]_{\times}$$

本质矩阵和基本矩阵的关系可以表示为：

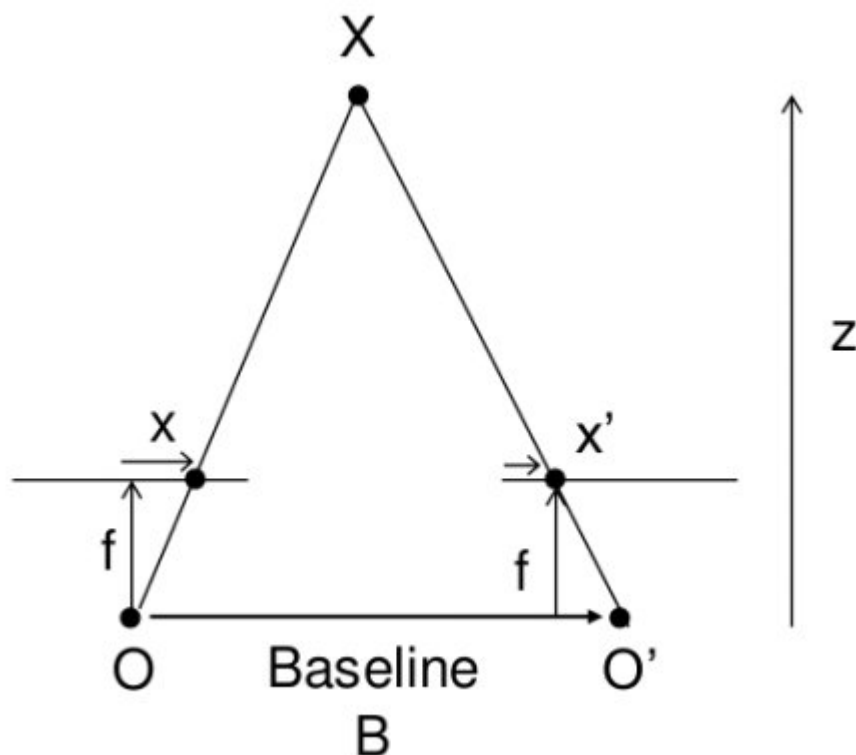
$$E = M_r^T F M_l$$

深度差 (Depth Disparity)

官方文档参考：

[OpenCV Doc](#)

经过摄像机校正之后，对极线平行，两个相机处在同一平面上，于是可以通过两个成像之间的位置差距来获得深度。平行相机结构如下图所示：（图片来自OpenCV官方文档）



注意到图上两个三角形的相似关系。于是有：

$$d = x - x' = \frac{Bf}{Z}$$

从这个公式可以算出简单的深度差。式中 B 是两个相机原点在基线上的距离， f 是相机焦距， Z 点是原像点的真实深度（ Z 轴坐标）。

双目相机标定和校正（Rectification）的OpenCV实现

官方文档参考：

[OpenCV Doc](#)

代码参考：

[OpenCV Samples](#)

注：这部分代码是通过研究官方的C++ Sample寻找最佳实践，并改写为Python得到的。

- 对成对的两张图片分别用 `findChessboardCorners` 找到棋盘格角点并构造对应的目标点。同一组图片对应一个目标点数组，输入的图片不需要事先进行去畸变，`stereoCalibrate` 会自动进行去畸变过程
- 用 `initCameraMatrix2D` 为左右相机初始化相机矩阵 `cameraMatrix`
- 直接调用 `stereoCalibrate` 进行相机标定。输入的参数是目标点和左右相机对应的角点（成对）。输出两个相机的相机矩阵和畸变向量，以及相机间变换矩阵 R 、 T 、本征矩阵 E 和基本矩阵 F 。
- 调用 `stereoRectify` 计算对两个相机的修正矩阵 R_1, R_2 （旋转）和 P_1, P_2 （投影）。根据官方文档，将左边的摄像机设为中心，则有：

像机设为中心，则有： $P_1 = \begin{bmatrix} f & 0 & c_{x1} & 0 \\ 0 & f & c_y & 0 \\ 0 & 0 & 1 & 0 \end{bmatrix}$, $P_2 = \begin{bmatrix} f & 0 & c_{x2} & fT_x \\ 0 & f & c_y & 0 \\ 0 & 0 & 1 & 0 \end{bmatrix}$ 其中 T_x 就是两个相机之间的水平平移量（即两个相机修正后图像的平移向量为 $(fT_x, 0, 0) = (b, 0, 0)$ ，可以借此来计算深度差）

- 调用 `initUndistortRectifyMap` 从相机矩阵生成图片去畸变和校正的变换（Map），并为相应的图片调用 `remap` 函数进行校正。


```
P1 = 8*3*window_size**2, # 动态规划算法需要的两个常数
P2 = 32*3*window_size**2,
disp12MaxDiff = 1, # 深度误差阈值
uniquenessRatio = 10,
speckleWindowSize = 100, # 两个异常点检测的参数,
speckleRange = 32
)

# 以下语句计算两图像的深度差灰度图像
disp = stereo.compute(imgL, imgR).astype(np.float32) / 16.0
```

对OpenCV官方的例子 `aloe.jpg`，效果如下：



通过对比可以看出，整体深度区分比较明显，但细节比较粗糙。

KITTI

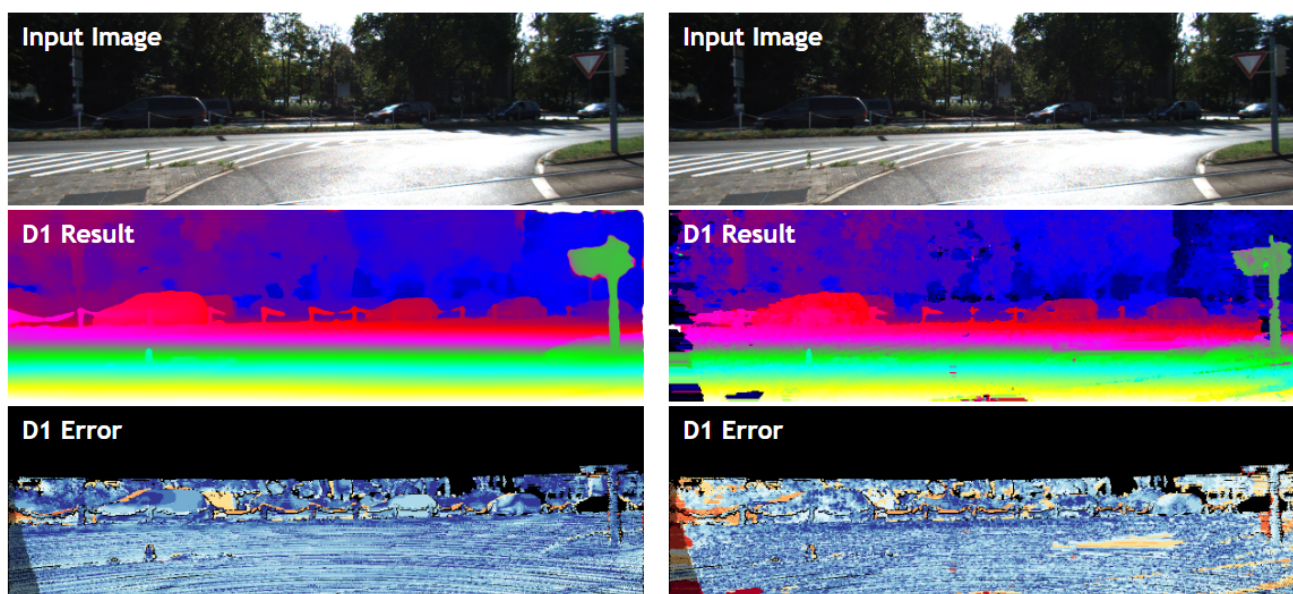
在KITTI评估平台上，目前最好的方法是Convolutional Spatial Propagation Network (CSPN)。CSPN方法的核心思想是显式学习每一个像素点与连接点评测结果如下：

Error	D1-bg	D1-fg	D1-all
All / All	1.51	2.88	1.74
All / Est	1.51	2.88	1.74
Noc / All	1.40	2.67	1.61
Noc / Est	1.40	2.67	1.61

OpenCV的SGBM方法代号为OCV-SGBM，结果如下：

Error	D1-bg	D1-fg	D1-all
All / All	8.92	20.59	10.86
All / Est	4.45	13.24	5.86
Noc / All	7.62	18.81	9.47
Noc / Est	3.98	12.56	5.35

网站上进行对比的几幅图片效果如下：



可以看出，CSPN方法结果明显比SGBM方法结果要平滑一些，并且较少受到路面上因为颜色不同而出现的深度误判（比如斑马线）。CSPN的运行时间在GPU环境下是0.5s，OpenCV-SGBM方法在CPU环境下仅需要1.1s。CSPN虽然在对比性能上超过了OpenCV-SGBM，但需要很强的算力支持，并且在高算力下也很难做到实时；而SGBM已有GPU版本（[SGBM on GPU](#)），并且在Titan X环境下可以做到实时，从安全性和瞬间反应速度来说，目前SGBM作为一个辅助深度检测的措施仍然较为适用。

我个人在看了一些项目、实现之后认为，双目深度检测的计算复杂度比较难以降低，并且监督学习方法的普适性、泛化性能值得进一步探究。在汽车导航这种需要严格安全性的地方，高准确度、快速反应能力缺一不可。因此，从软件上提升准确率可能需要依赖不同地区、不同城市甚至不同街道的数据集，真正创造出普遍使用的大一统模型需要结合硬件以及云服务的进步。